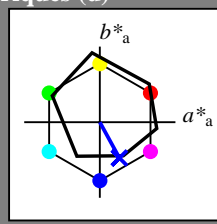


Entrée et sortie: Système Offset Reflective ORS18a pour la teinte CIELAB relative $h_{ab,a,rel} = h_{ab}/360 = 298/360 = 0.82$

$H^*_- = B00R_-$

Données de couleurs périphériques (d)
ou élémentaires (e):
 HIC^*_-
code de teinte pour les couleurs de cette page:
 $H^*_- = B00R_-$
triangle de luminosité T^*



ORS18a; données CIELAB (a) adaptées

| nom | $L^*=L^*_a a^*_a$ | b^*_a | $C^*_{ab,a}$ | $h^*_{ab,a}$ | |
|--------------------|-------------------|---------|--------------|--------------|-----|
| R _{-,Ma} | 47.9 | 65.3 | 50.5 | 82.6 | 37 |
| Y _{-,Ma} | 90.3 | -10.2 | 91.7 | 92.3 | 96 |
| G _{-,Ma} | 50.9 | -62.8 | 34.9 | 71.9 | 150 |
| C _{-,Ma} | 58.6 | -30.3 | -45.0 | 54.2 | 236 |
| B _{-,Ma} | 25.7 | 31.0 | -44.4 | 54.2 | 305 |
| M _{-,Ma} | 48.1 | 75.2 | -8.3 | 75.7 | 353 |
| N _{-,Ma} | 18.0 | 0.0 | 0.0 | 0.0 | 0 |
| W _{-,Ma} | 95.4 | 0.0 | 0.0 | 0.0 | 0 |
| R _{-,CIE} | 39.9 | 58.7 | 27.9 | 65.0 | 25 |
| Y _{-,CIE} | 81.2 | -2.8 | 71.5 | 71.6 | 92 |
| G _{-,CIE} | 52.2 | -42.4 | 13.6 | 44.5 | 162 |
| B _{-,CIE} | 30.5 | 1.4 | -46.4 | 46.4 | 271 |

Les données de couleur maximale (Ma):

$LabCh^*_{-,Ma}$: 27 25 -47 53 298

$HIC^*_{-,Ma}$: B00R_100_100_

$rgbic^*_{-,Ma}$:

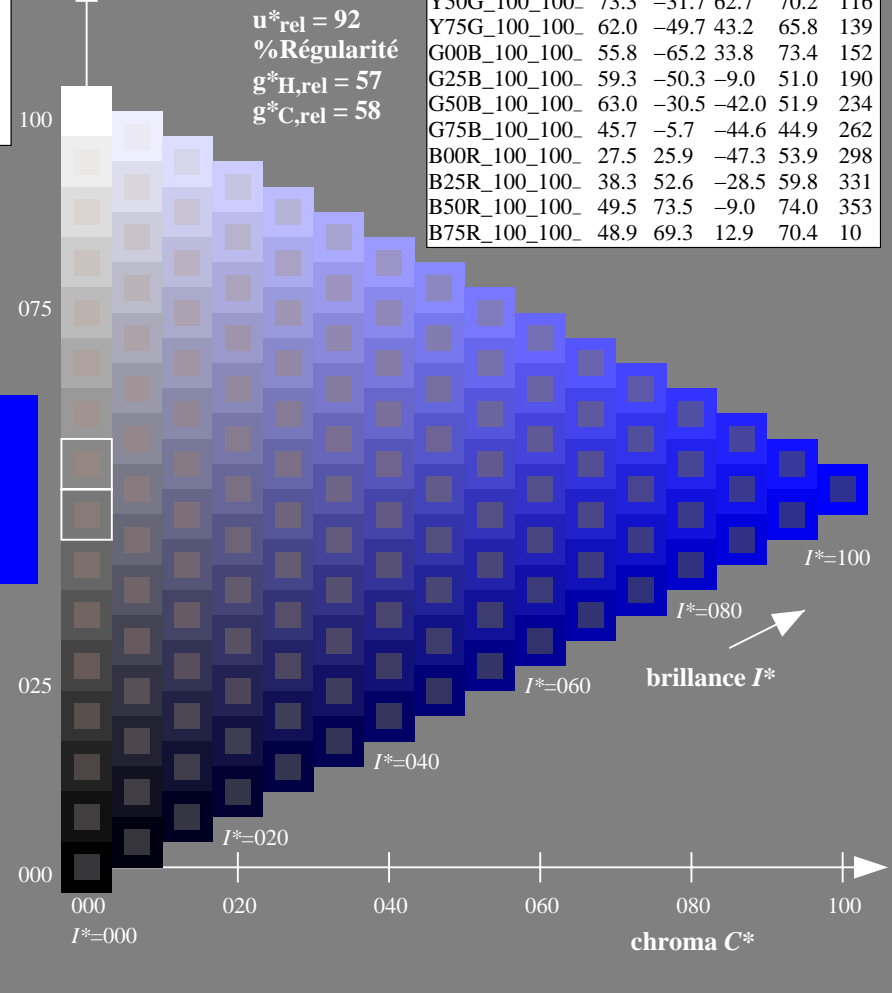
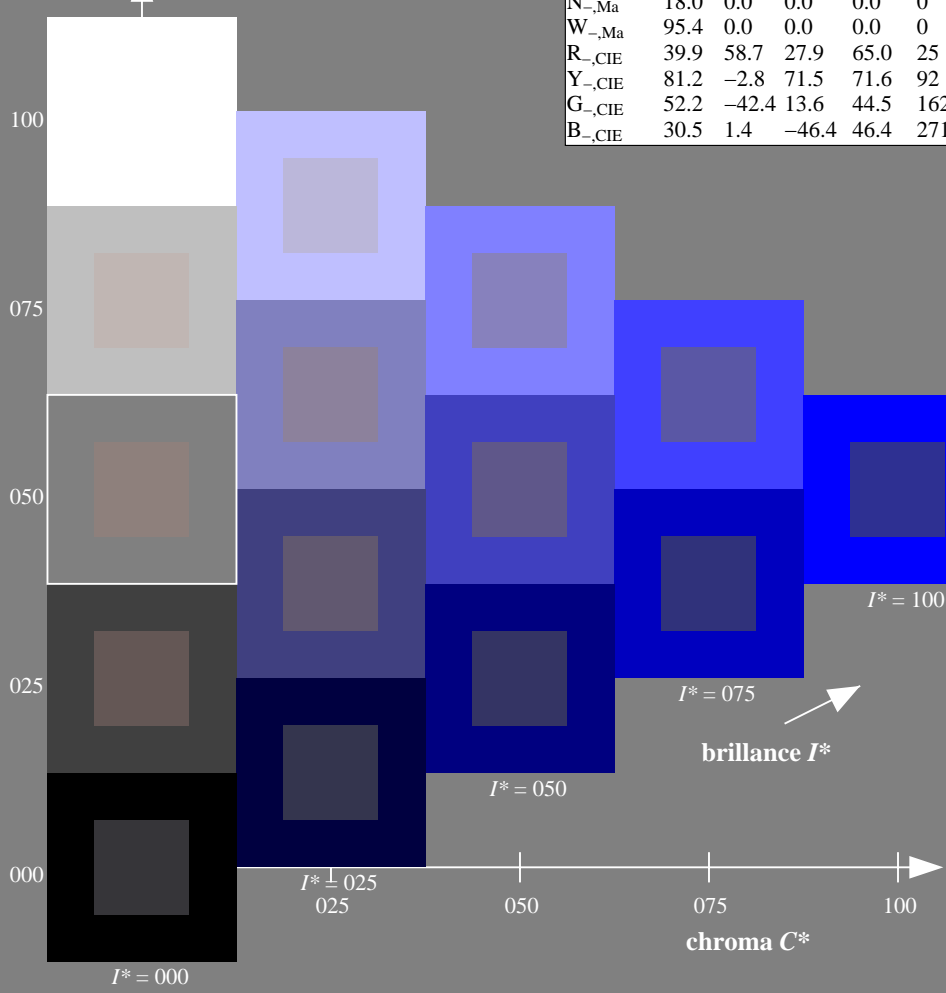
0.0 0.0 1.0 1.0 1.0

triangle de luminosité T^*

%Gamme
 $u^*_{rel} = 92$
%Régularité
 $g^*_H,rel = 57$
 $g^*_C,rel = 58$

ORS20a; données CIELAB (a) adaptées

| H^*_- | $L^*=L^*_a a^*_a$ | b^*_a | $C^*_{ab,a}$ | $h^*_{ab,a}$ | |
|---------------|-------------------|---------|--------------|--------------|-----|
| R00Y_100_100_ | 48.4 | 66.1 | 40.2 | 77.3 | 31 |
| R25Y_100_100_ | 56.8 | 48.0 | 50.5 | 69.6 | 46 |
| R50Y_100_100_ | 68.6 | 25.0 | 63.9 | 68.6 | 68 |
| R75Y_100_100_ | 80.6 | 4.8 | 77.2 | 77.3 | 86 |
| Y00G_100_100_ | 90.2 | -9.6 | 88.2 | 88.7 | 96 |
| Y25G_100_100_ | 83.2 | -18.4 | 79.9 | 81.9 | 102 |
| Y50G_100_100_ | 73.3 | -31.7 | 62.7 | 70.2 | 116 |
| Y75G_100_100_ | 62.0 | -49.7 | 43.2 | 65.8 | 139 |
| G00B_100_100_ | 55.8 | -65.2 | 33.8 | 73.4 | 152 |
| G25B_100_100_ | 59.3 | -50.3 | -9.0 | 51.0 | 190 |
| G50B_100_100_ | 63.0 | -30.5 | -42.0 | 51.9 | 234 |
| G75B_100_100_ | 45.7 | -5.7 | -44.6 | 44.9 | 262 |
| B00R_100_100_ | 27.5 | 25.9 | -47.3 | 53.9 | 298 |
| B25R_100_100_ | 38.3 | 52.6 | -28.5 | 59.8 | 331 |
| B50R_100_100_ | 49.5 | 73.5 | -9.0 | 74.0 | 353 |
| B75R_100_100_ | 48.9 | 69.3 | 12.9 | 70.4 | 10 |



voir fichiers similaires: <http://130.149.60.45/~farbmetrik/RF16/RF16L0FP.PDF>
informations techniques: <http://www.ps.bam.de> ou <http://130.149.60.45/~farbmetrik>

TUB enregistrement: 20130201 -RF16/RF16L0FP.PDF /.PS
application pour la mesure des sorties sur offset

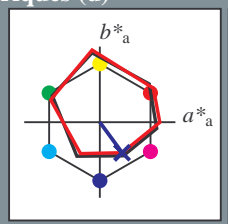
TUB matériel: code=rh4ta

Entrée et sortie: Système Offset Reflective ORS18a pour la teinte CIELAB relative $h_{ab,a,rel} = h_{ab}/360 = 306/360 = 0.85$

$H^*_d = B00R_d$

Données de couleurs périphériques (d)
ou élémentaires (e):

HIC^*_d
code de teinte pour les couleurs de cette page:
 $H^*_d = B00R_d$
triangle de luminosité T^*



ORS20a; données CIELAB (a) adaptées

| nom | $L^*=L^*_a a^*_a$ | b^*_a | $C^*_{ab,a}$ | $h^*_{ab,a}$ | |
|--------------|-------------------|---------|--------------|--------------|-----|
| $R_{d, Ma}$ | 45.4 | 70.9 | 44.8 | 83.9 | 32 |
| $Y_{d, Ma}$ | 87.8 | -10.2 | 95.4 | 96.0 | 96 |
| $G_{d, Ma}$ | 50.0 | -65.0 | 29.6 | 71.4 | 155 |
| $C_{d, Ma}$ | 56.8 | -25.5 | -41.5 | 48.7 | 238 |
| $B_{d, Ma}$ | 25.0 | 29.5 | -40.4 | 50.0 | 306 |
| $M_{d, Ma}$ | 46.1 | 79.3 | -0.2 | 79.3 | 359 |
| $N_{d, Ma}$ | 24.3 | 0.0 | 0.0 | 0.0 | 0 |
| $W_{d, Ma}$ | 95.6 | 0.0 | 0.0 | 0.0 | 0 |
| $R_{d, CIE}$ | 39.9 | 58.7 | 27.9 | 65.0 | 25 |
| $Y_{d, CIE}$ | 81.2 | -2.8 | 71.5 | 71.6 | 92 |
| $G_{d, CIE}$ | 52.2 | -42.4 | 13.6 | 44.5 | 162 |
| $B_{d, CIE}$ | 30.5 | 1.4 | -46.4 | 46.4 | 271 |

Les données de couleur maximale (Ma):

$LabCh^*_{d, Ma}$: 25 29 -40 50 306

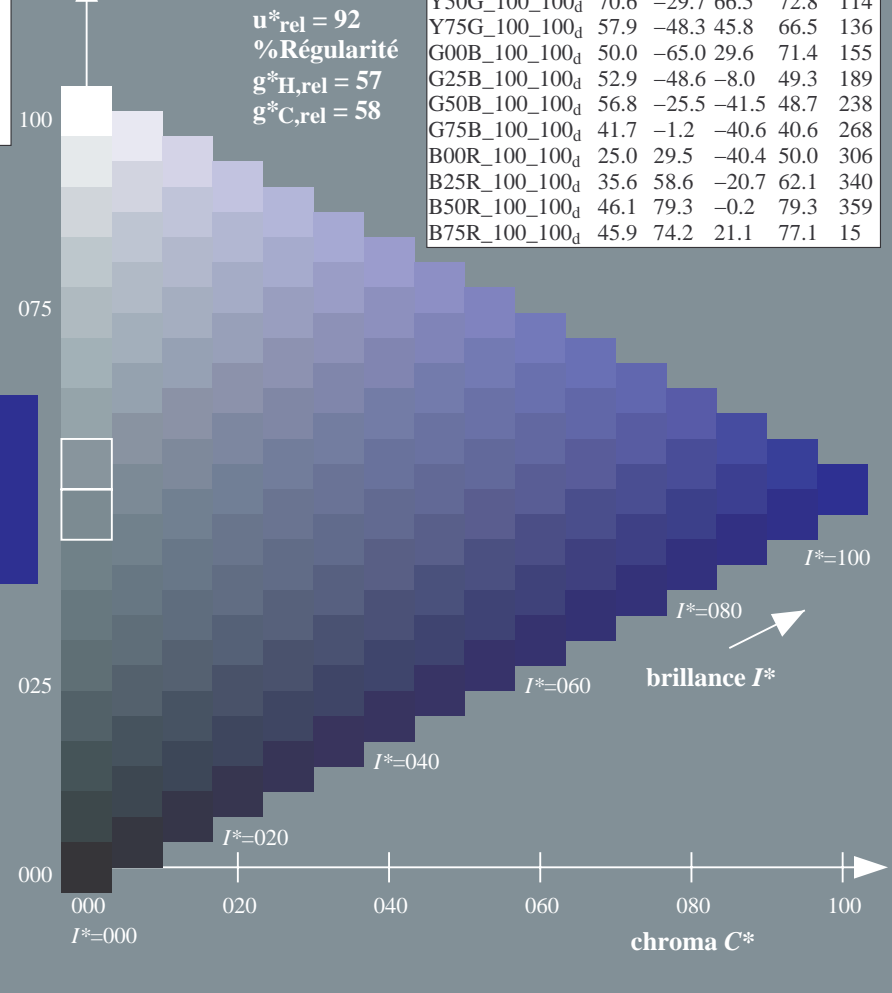
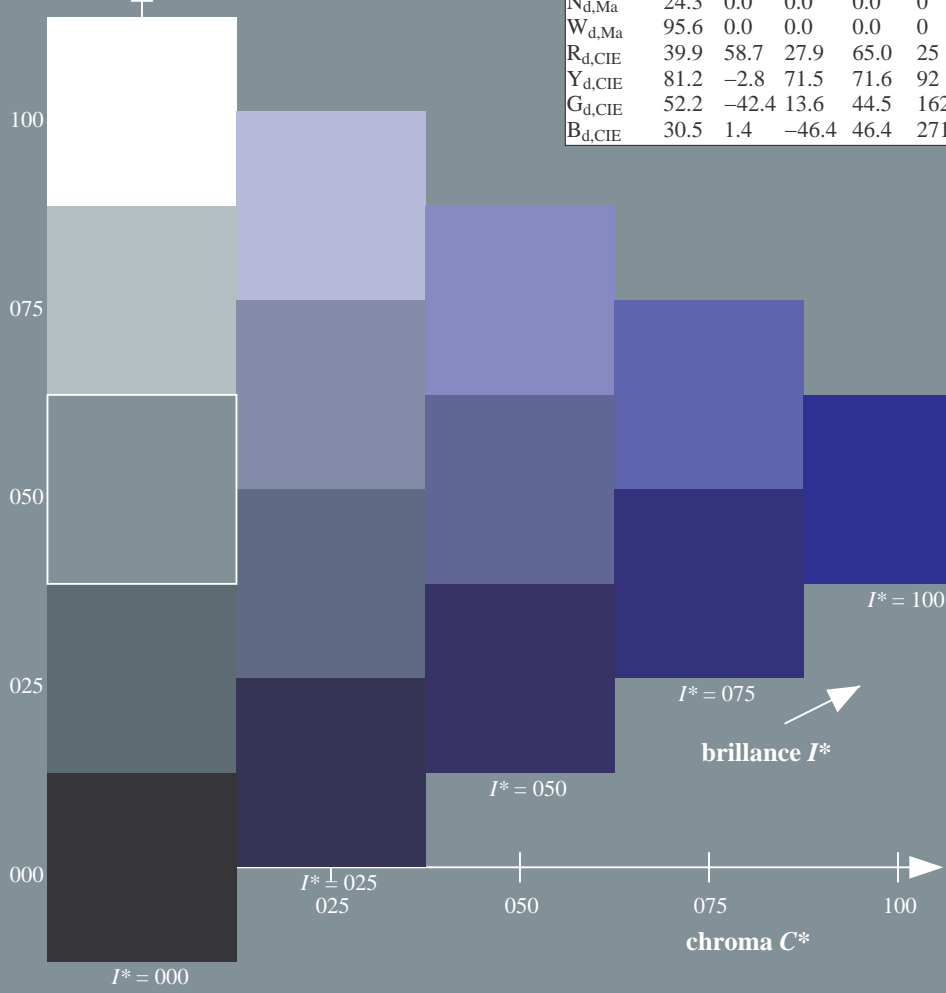
$HIC^*_{d, Ma}$: B00R_100_100d

$rgbic^*_{d, Ma}$:
0.0 0.0 1.0 1.0 1.0

triangle de luminosité T^*

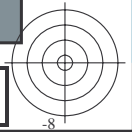
ORS20a; données CIELAB (a) adaptées

| H^*_d | $L^*=L^*_a a^*_a$ | b^*_a | $C^*_{ab,a}$ | $h^*_{ab,a}$ | |
|-------------------|-------------------|---------|--------------|--------------|-----|
| $R00Y_{100_100d}$ | 45.4 | 70.9 | 44.8 | 83.9 | 32 |
| $R25Y_{100_100d}$ | 53.0 | 53.4 | 54.8 | 76.5 | 45 |
| $R50Y_{100_100d}$ | 64.9 | 28.9 | 68.6 | 74.5 | 67 |
| $R75Y_{100_100d}$ | 78.6 | 4.3 | 84.7 | 84.8 | 87 |
| $Y00G_{100_100d}$ | 87.8 | -10.2 | 95.4 | 96.0 | 96 |
| $Y25G_{100_100d}$ | 81.2 | -17.0 | 84.3 | 86.0 | 101 |
| $Y50G_{100_100d}$ | 70.6 | -29.7 | 66.5 | 72.8 | 114 |
| $Y75G_{100_100d}$ | 57.9 | -48.3 | 45.8 | 66.5 | 136 |
| $G00B_{100_100d}$ | 50.0 | -65.0 | 29.6 | 71.4 | 155 |
| $G25B_{100_100d}$ | 52.9 | -48.6 | -8.0 | 49.3 | 189 |
| $G50B_{100_100d}$ | 56.8 | -25.5 | -41.5 | 48.7 | 238 |
| $G75B_{100_100d}$ | 41.7 | -1.2 | -40.6 | 40.6 | 268 |
| $B00R_{100_100d}$ | 25.0 | 29.5 | -40.4 | 50.0 | 306 |
| $B25R_{100_100d}$ | 35.6 | 58.6 | -20.7 | 62.1 | 340 |
| $B50R_{100_100d}$ | 46.1 | 79.3 | -0.2 | 79.3 | 359 |
| $B75R_{100_100d}$ | 45.9 | 74.2 | 21.1 | 77.1 | 15 |



voir fichiers similaires: <http://130.149.60.45/~farbmetrik/RF16/RF16L0FP.PDF> / .PS
informations techniques: <http://www.ps.bam.de> ou <http://130.149.60.45/~farbmetrik>

TUB enregistrement: 20130201 -RF16/RF16LOFP.PDF / .PS
application pour la mesure des sorties sur offset, séparation cmy0* (CMY0)
TUB matériel: code=rh4ta



Entrée et sortie: Système Offset Reflective ORS18a pour la teinte CIELAB relative $h_{ab,a,rel} = h_{ab}/360 = 298/360 = 0.82$

$H^*_- = B00R_-$

Données de couleurs périphériques (d)

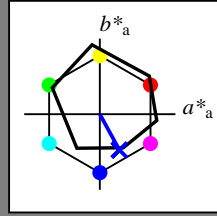
ou élémentaires (e):

HIC^*_-

code de teinte pour les couleurs de cette page:

$H^*_- = B00R_-$

triangle de luminosité T^*



ORS18a; données CIELAB (a) adaptées

| nom | $L^*=L^*_a a^*_a$ | b^*_a | $C^*_{ab,a}$ | $h^*_{ab,a}$ | |
|--------------------|-------------------|---------|--------------|--------------|-----|
| R _{-,Ma} | 47.9 | 65.3 | 50.5 | 82.6 | 37 |
| Y _{-,Ma} | 90.3 | -10.2 | 91.7 | 92.3 | 96 |
| G _{-,Ma} | 50.9 | -62.8 | 34.9 | 71.9 | 150 |
| C _{-,Ma} | 58.6 | -30.3 | -45.0 | 54.2 | 236 |
| B _{-,Ma} | 25.7 | 31.0 | -44.4 | 54.2 | 305 |
| M _{-,Ma} | 48.1 | 75.2 | -8.3 | 75.7 | 353 |
| N _{-,Ma} | 18.0 | 0.0 | 0.0 | 0.0 | 0 |
| W _{-,Ma} | 95.4 | 0.0 | 0.0 | 0.0 | 0 |
| R _{-,CIE} | 39.9 | 58.7 | 27.9 | 65.0 | 25 |
| Y _{-,CIE} | 81.2 | -2.8 | 71.5 | 71.6 | 92 |
| G _{-,CIE} | 52.2 | -42.4 | 13.6 | 44.5 | 162 |
| B _{-,CIE} | 30.5 | 1.4 | -46.4 | 46.4 | 271 |

Les données de couleur maximale (Ma):

$LabCh^*_{-,Ma}$: 27 25 -47 53 298

$HIC^*_{-,Ma}$: B00R_100_100_

$rgbic^*_{-,Ma}$:

0.0 0.0 1.0 1.0 1.0

triangle de luminosité T^*

%Gamme

$u^*_{rel} = 92$

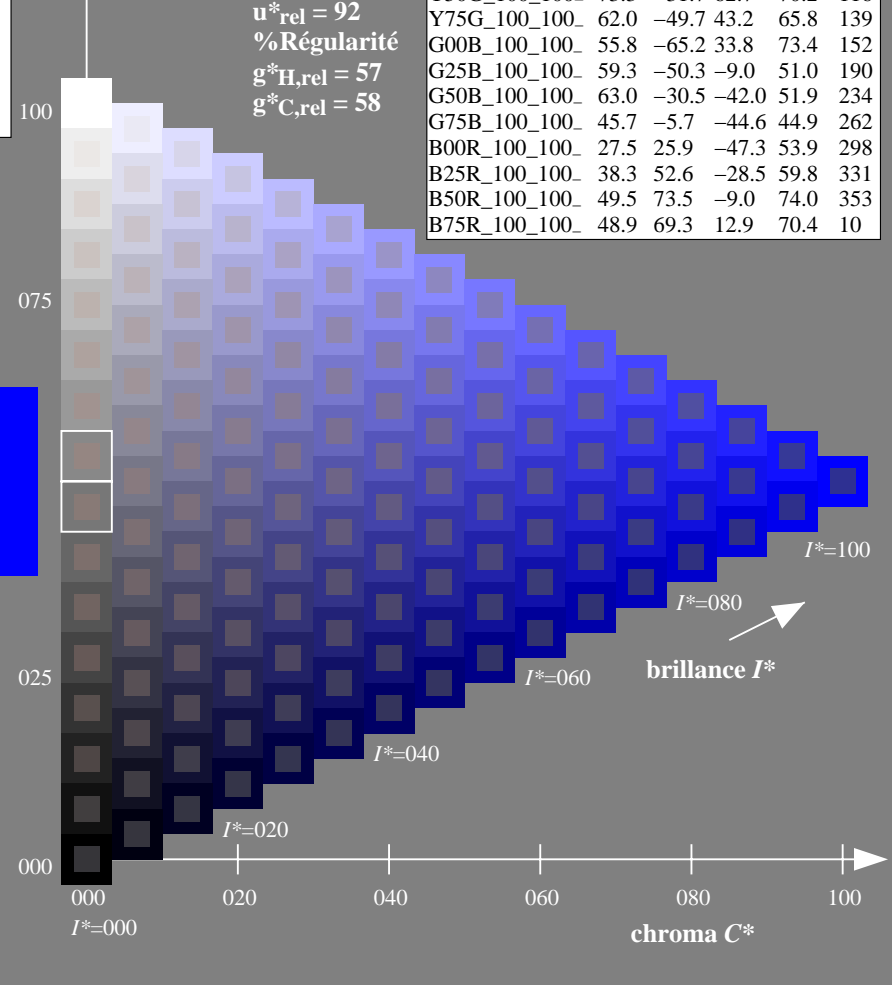
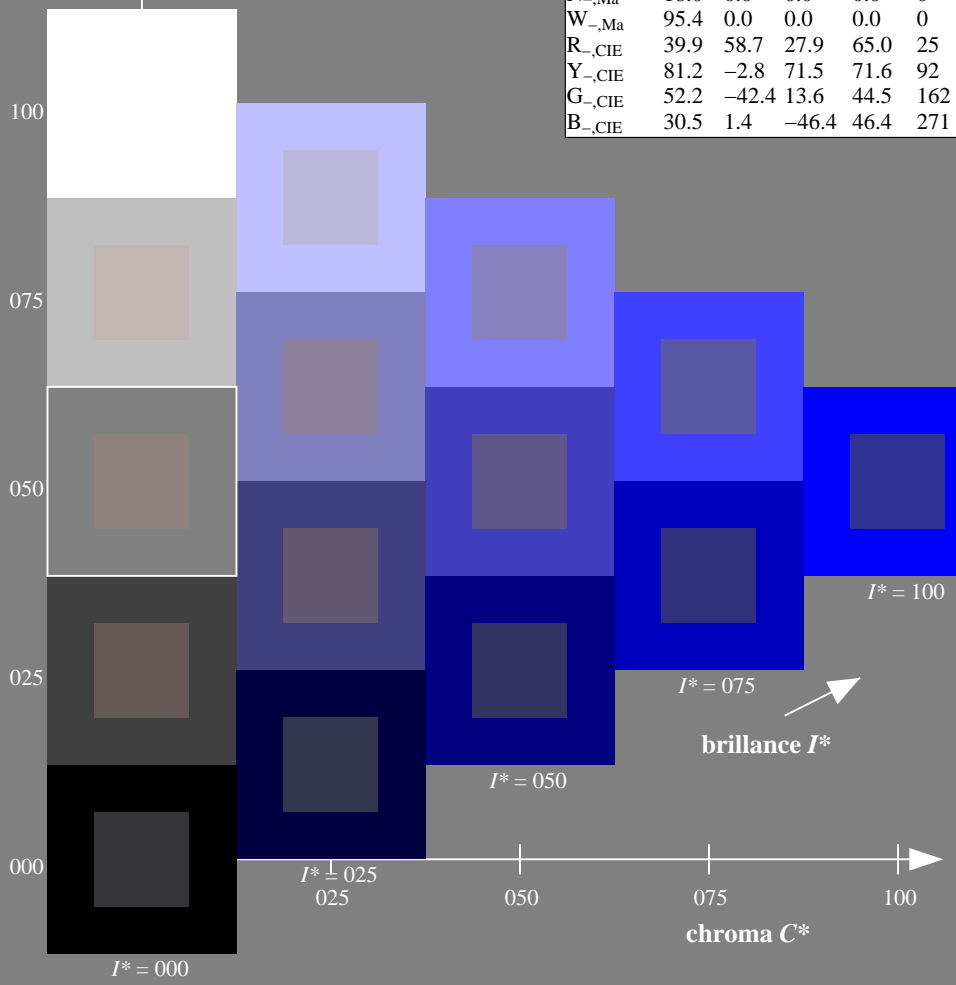
%Régularité

$g^*_{H,rel} = 57$

$g^*_{C,rel} = 58$

ORS20a; données CIELAB (a) adaptées

| H^*_- | $L^*=L^*_a a^*_a$ | b^*_a | $C^*_{ab,a}$ | $h^*_{ab,a}$ | |
|---------------|-------------------|---------|--------------|--------------|-----|
| R00Y_100_100_ | 48.4 | 66.1 | 40.2 | 77.3 | 31 |
| R25Y_100_100_ | 56.8 | 48.0 | 50.5 | 69.6 | 46 |
| R50Y_100_100_ | 68.6 | 25.0 | 63.9 | 68.6 | 68 |
| R75Y_100_100_ | 80.6 | 4.8 | 77.2 | 77.3 | 86 |
| Y00G_100_100_ | 90.2 | -9.6 | 88.2 | 88.7 | 96 |
| Y25G_100_100_ | 83.2 | -18.4 | 79.9 | 81.9 | 102 |
| Y50G_100_100_ | 73.3 | -31.7 | 62.7 | 70.2 | 116 |
| Y75G_100_100_ | 62.0 | -49.7 | 43.2 | 65.8 | 139 |
| G00B_100_100_ | 55.8 | -65.2 | 33.8 | 73.4 | 152 |
| G25B_100_100_ | 59.3 | -50.3 | -9.0 | 51.0 | 190 |
| G50B_100_100_ | 63.0 | -30.5 | -42.0 | 51.9 | 234 |
| G75B_100_100_ | 45.7 | -5.7 | -44.6 | 44.9 | 262 |
| B00R_100_100_ | 27.5 | 25.9 | -47.3 | 53.9 | 298 |
| B25R_100_100_ | 38.3 | 52.6 | -28.5 | 59.8 | 331 |
| B50R_100_100_ | 49.5 | 73.5 | -9.0 | 74.0 | 353 |
| B75R_100_100_ | 48.9 | 69.3 | 12.9 | 70.4 | 10 |



voir fichiers similaires: <http://130.149.60.45/~farbmetrik/RF16/RF16L0FP.PDF>
informations techniques: <http://www.ps.bam.de> ou <http://130.149.60.45/~farbmetrik>

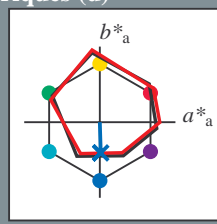
TUB enregistrement: 20130201 -RF16/RF16L0FP.PDF /.PS
application pour la mesure des sorties sur offset

TUB matériel: code=rh4ta

Entrée et sortie: Système Offset Reflective ORS18a pour la teinte CIELAB relative $h_{ab,a,rel} = h_{ab}/360 = 271/360 = 0.75$

$H^*_e = B00R_e$

Données de couleurs périphériques (d)
ou élémentaires (e):
 HIC^*_e
code de teinte pour les couleurs de cette page:
 $H^*_e = B00R_e$
triangle de luminosité T^*



ORS20a; données CIELAB (a) adaptées

| nom | $L^*=L^*_a a^*_a$ | b^*_a | $C^*_{ab,a}$ | $h^*_{ab,a}$ |
|--------|-------------------|---------|--------------|--------------|
| Re,Ma | 45.6 | 72.2 | 34.4 | 80.0 |
| Ye,Ma | 83.6 | -3.6 | 90.4 | 92 |
| Ge,Ma | 50.6 | -62.1 | 19.9 | 65.2 |
| Ce,Ma | 55.0 | -36.2 | -27.2 | 45.3 |
| Be,Ma | 40.2 | 1.2 | -40.6 | 40.6 |
| Me,Ma | 31.1 | 47.7 | -29.1 | 55.9 |
| Ne,Ma | 24.3 | 0.0 | 0.0 | 0 |
| We,Ma | 95.6 | 0.0 | 0.0 | 0 |
| Re,CIE | 39.9 | 58.7 | 27.9 | 65.0 |
| Ye,CIE | 81.2 | -2.8 | 71.5 | 71.6 |
| Ge,CIE | 52.2 | -42.4 | 13.6 | 44.5 |
| Be,CIE | 30.5 | 1.4 | -46.4 | 46.4 |

Les données de couleur maximale (Ma):

LabCh $^*_e, Ma$: 40 1 -40 40 271

HIC^*_e, Ma : B00R_100_100_e

rgbic $^*_e, Ma$:

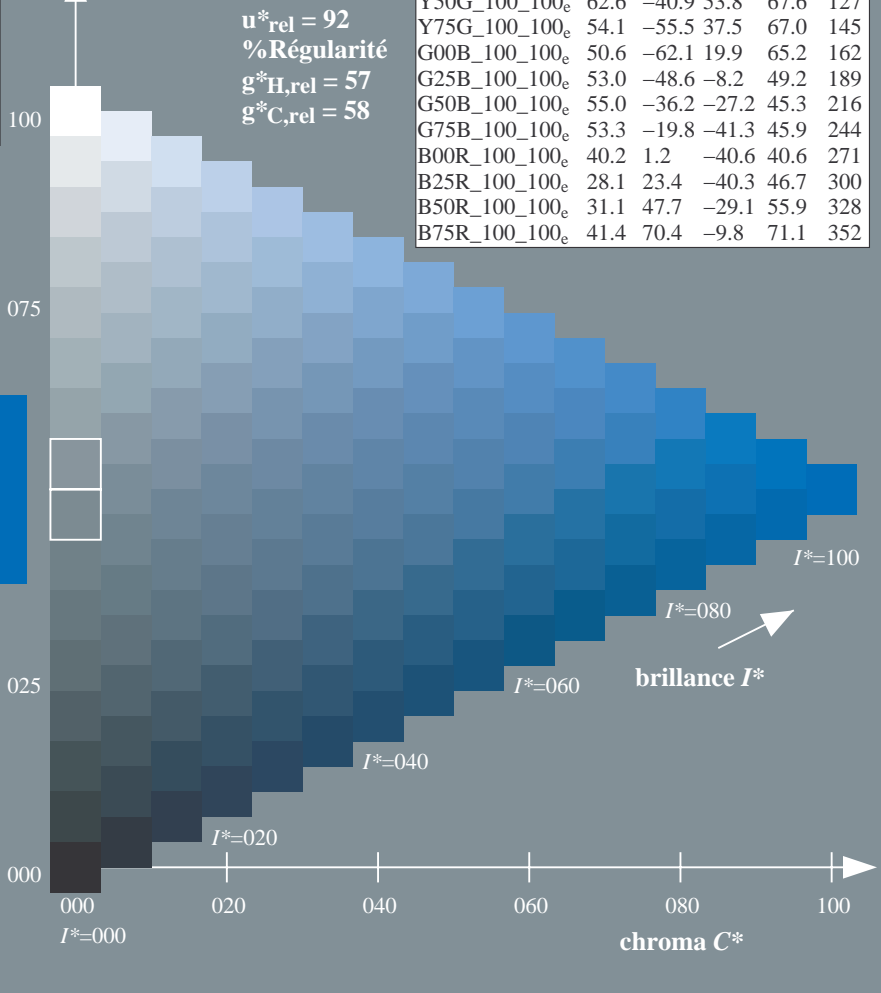
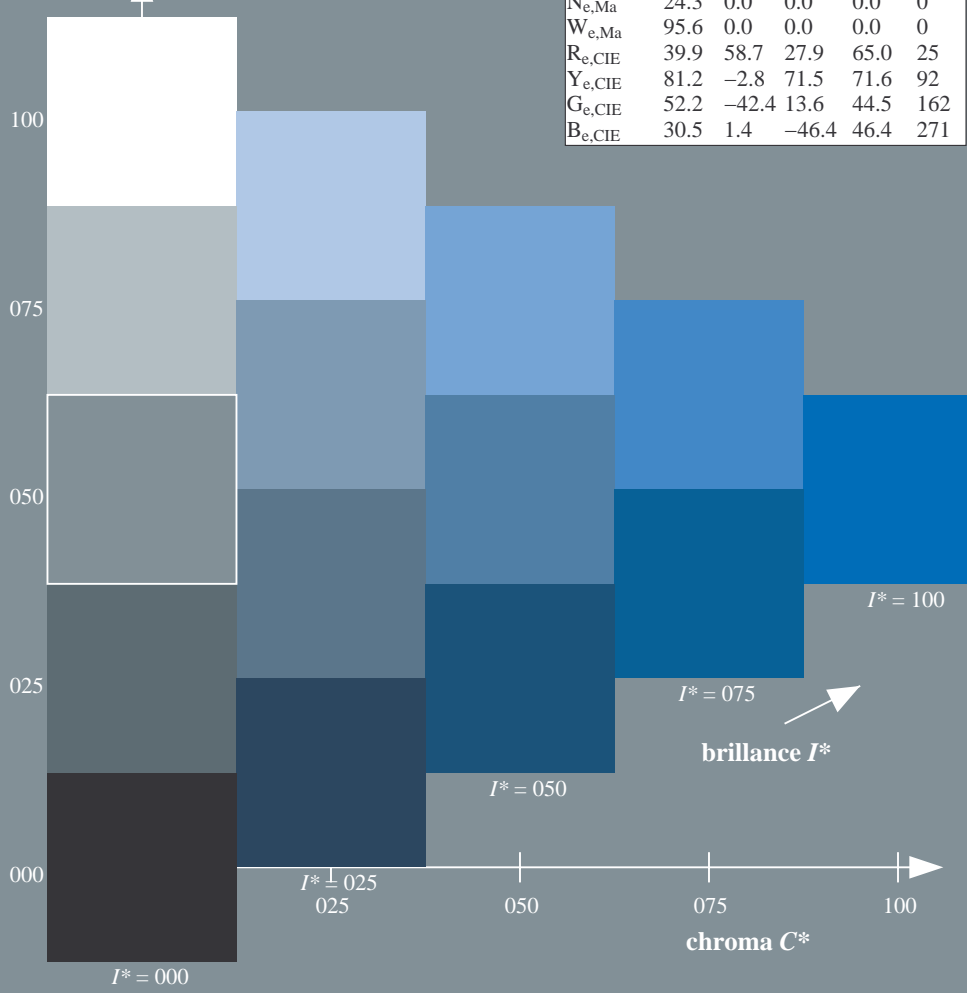
0.0 0.45 1.0 1.0 1.0

triangle de luminosité T^*

%Gamme
 $u^*_{rel} = 92$
%Régularité
 $g^*_{H,rel} = 57$
 $g^*_{C,rel} = 58$

ORS20a; données CIELAB (a) adaptées

| H^*_e | $L^*=L^*_a a^*_a$ | b^*_a | $C^*_{ab,a}$ | $h^*_{ab,a}$ |
|----------------|-------------------|---------|--------------|--------------|
| R00Y_100_100_e | 45.6 | 72.2 | 34.4 | 80.0 |
| R25Y_100_100_e | 50.5 | 59.2 | 51.6 | 78.6 |
| R50Y_100_100_e | 60.2 | 38.2 | 63.4 | 74.1 |
| R75Y_100_100_e | 70.9 | 17.9 | 75.9 | 77.9 |
| Y00G_100_100_e | 83.6 | -3.6 | 90.4 | 92 |
| Y25G_100_100_e | 74.5 | -25.0 | 74.3 | 78.4 |
| Y50G_100_100_e | 62.6 | -40.9 | 53.8 | 67.6 |
| Y75G_100_100_e | 54.1 | -55.5 | 37.5 | 67.0 |
| G00B_100_100_e | 50.6 | -62.1 | 19.9 | 65.2 |
| G25B_100_100_e | 53.0 | -48.6 | -8.2 | 49.2 |
| G50B_100_100_e | 55.0 | -36.2 | -27.2 | 45.3 |
| G75B_100_100_e | 53.3 | -19.8 | -41.3 | 45.9 |
| B00R_100_100_e | 40.2 | 1.2 | -40.6 | 40.6 |
| B25R_100_100_e | 28.1 | 23.4 | -40.3 | 46.7 |
| B50R_100_100_e | 31.1 | 47.7 | -29.1 | 55.9 |
| B75R_100_100_e | 41.4 | 70.4 | -9.8 | 71.1 |



voir fichiers similaires: <http://130.149.60.45/~farbmetrik/RF16/RF16L0FP.PDF> / .PS
informations techniques: <http://www.ps.bam.de> ou <http://130.149.60.45/~farbmetrik>

TUB enregistrement: 20130201 -RF16/RF16L0FP.PDF / .PS
application pour la mesure des sorties sur offset, séparation cmy0* (CMY0)
TUB matériel: code=rh4ta

